

بررسی تنوع ژنتیکی جمعیت‌های گونه لاله واژگون (*Fritillaria imperialis* L.) در منطقه زاگرس ایران با استفاده از نشانگرهای مولکولی ISSR و صفات مورفولوژیکی

حسن مؤمنی^۱، بهروز شیران^{۲*}، محمود خدامبashi^۳ و کیانوش چغامیرزای^۴

۱، ۲، ۳، دانشجوی سابق کارشناسی ارشد، دانشیار و استادیار دانشگاه شهرکرد،

۴، دانشیار، دانشگاه رازی کرمانشاه

(تاریخ دریافت: ۹۰/۱۰/۱۸ - تاریخ تصویب: ۹۱/۴/۲۵)

چکیده

به منظور بررسی تنوع ژنتیکی جمعیت‌های لاله واژگون (*Fritillaria imperialis* L.) منطقه زاگرس ایران از نشانگرهای مولکولی ISSR و ۳۲ صفت مورفولوژیکی استفاده گردید. در کل ۱۶۰ نمونه لاله واژگون از ۸ جمعیت زاگرس واقع در ۶ استان جمع‌آوری و مورد بررسی قرار گرفت. با استفاده از ۶ آغازگر مورد استفاده، در مجموع ۵۷ نوار تولید شد که ۴۹ نوار چندشکل بودند. میانگین درصد چندشکلی مشاهده شده برابر $85/6$ درصد و میانگین تعداد نوارهای چندشکل به ازای هر واحد سنجش برابر با $8/17$ درصد بود. میانگین محتوای اطلاعات چندشکل $0/31$ بود. در دنдрوگرام حاصل از خوشبندی نمونه‌ها بر اساس ضرایب تشابه جاکارد و روش گروه‌بندی UPGMA، همه جمعیت‌های مورد بررسی تشکیل خوش مجزایی دادند که بیانگر کارایی بالای آغازگرهای مورد استفاده در تکثیر قطعات مناسب از ژنوم است. تجزیه واریانس مولکولی (AMOVA) درون و بین ۸ جمعیت‌ها و واژگون با گروه‌بندی ناحیه‌ای و بدون گروه‌بندی ناحیه‌ای انجام شد. واریانس بین جمعیت‌ها و بین افراد این جمعیت‌ها به ترتیب $44/05$ و $55/95$ درصد از کل واریانس را پوشش دادند. گروه‌بندی ناحیه‌ای نتوانست درصدی از واریانس کل را توجیه کند. دندروگرام حاصل از صفات مورفولوژیکی الگوی مشخصی مبنی بر جدا سازی افراد متعلق به جمعیت‌ها ارائه نداد. همبستگی بین ماتریس‌های تشابه بر مبنای داده‌های مولکولی و مورفولوژیکی معنی دار نبود $(r=0/25)$.

واژه‌های کلیدی: تنوع ژنتیکی، لاله واژگون، زاگرس، نشانگرهای ISSR، صفات مورفولوژیکی.

خانواده سوسن (Lilliaceae) می‌باشد. ظاهر بسیار زیبا، گل‌های واژگون این گونه، و متمنکز بودن بوته‌های این گیاه در مناطق دارای اقلیم مطلوب موجب شده است تا اکثر این مناطق به عنوان تفریحگاه‌های طبیعی مورد توجه و استفاده گردشگران داخلی و خارجی قرار گیرند.

مقدمه

در ایران بیش از ۱۷۰ گونه لاله به طور طبیعی رشد و نمو می‌کنند. در این بین لاله واژگون (*Fritillaria imperialis* L.) از اهمیت و اصالت منحصر به فردی برخوردار است. این گیاه متعلق به رده تک لپهای‌ها و

دیگر تکرارپذیری نشانگرهای SSR را به دلیل طویل Chen et al., 2008; Wang et al., 2008 تکثیرقطعه‌های DNA موجود در فواصل بین دو ناحیه‌ی تکراری ریزماهواره‌ای است که در دو سوی آن قرار دارند (Ainong et al., 2010). تاکنون مطالعه‌ای با کمک نشانگرهای مولکولی ISSR برای بررسی تنوع ژنتیکی جمعیت‌های گونه لاله واژگون ایران انجام نشده است. ولی مطالعه مشابهی بر روی گونه‌های غیر ایرانی از قبیل *F. thunbergii* Miq. با استفاده از مارکر مولکولی ISSR انجام شده است (Liu et al., 2010).

مطالعه خصوصیات مورفولوژیکی گونه‌های مختلف جنس *Fritillaria* نشان داده است که مرکز اصلی تنوع این جنس احتمالاً ایران می‌باشد چون نمونه‌های موجود در ایران خصوصیات نمونه‌های آسیای مرکزی، مدیترانه و قفقاز را دارا می‌باشند (Rix, 1977). بررسی وضعیت تاکسونومیکی ۴۲ ژرمپلاسم از گونه‌های جنس RAPD- PCR در ترکیه با استفاده از تکنیک *Fritillaria* و تجزیه و تحلیل پروتئین (SDS-PAGE) بذر نشان داده است که همه گونه‌های مورد بررسی می‌توانند در قالب یک جنس طبقه‌بندی شوند (Celebi et al., 2006). گروه‌بندی گونه‌های جنس *Fritillaria* متعلق به نواحی جغرافیایی مختلف با استفاده از روش سنجش تفرق اشعه X روی نشاسته‌ی نیمه متبلور، با گروه‌بندی جغرافیایی و گروه‌بندی بر اساس خصوصیات *Wang et al.*, 2006). بنابر این جهت شناسایی تنوع بین گونه‌های جنس *Fritillaria* نشانگرهای مورفولوژیکی مناسب بوده‌اند؛ اما جهت بررسی در سطح گونه لاله واژگون، استفاده از نشانگرهای مولکولی، اجتناب ناپذیر است. در این بررسی جهت شناسایی تنوع و ساختار ژنتیکی مولکولی ISSR و صفات مورفولوژیکی استفاده شد.

مواد و روش‌ها

نمونه‌گیری لاله واژگون
در مجموع تعداد ۱۶۰ نمونه گیاه لاله واژگون (۲۰ نمونه از هر جمعیت) از ۳ ناحیه زاگرس ایران در

این گیاه پتانسیل بالائی جهت استفاده به عنوان گیاه زینتی و نیز داروئی را دارا می‌باشد. در زمینه کاربردهای داروئی این گیاه تحقیقاتی انجام گرفته است. از جمله خواص داروئی آن وجود آلkaloidهایی در سوخت این گیاه می‌باشد که تأثیر آن‌ها در درمان عوارضی از قبیل سرفه، آسم، برونشیت و تومورها به اثبات رسیده است (Nadeem et al., 2002; Rahman et al., 2002).

لاله واژگون علاوه بر ایران در مناطق وسیع دیگری از دنیا از جمله ترکیه، عراق، افغانستان، پاکستان، کشمیر و رشته کوه هیمالیا مشاهده و گزارش شده است (Alp et al., 2009). بیشترین پراکنش این گونه در ایران مربوط به استان‌های واقع در منطقه زاگرس می‌باشد. لاله واژگون بیشتر به صورت بومی در استان‌های فارس، چهارمحال و بختیاری، اصفهان، کرمانشاه و کردستان وجود دارد و شاید مرکز اصلی تنوع این گیاه، کوه‌های Zāgros ایران باشد (Mohammadi-Dehcheshmeh et al., 2007). بنابراین شناسائی تنوع ژنتیکی جمعیت‌های لاله واژگون منطقه زاگرس ایران اولین قدم در برنامه‌های بهداشتی این گیاه و شناسائی دقیق ژرمپلاسم آن می‌باشد.

جهت بررسی تنوع و ساختار ژنتیکی ژنتیکی گیاهی روش‌های متفاوتی وجود دارد از جمله روش‌های کلاسیک، استفاده از صفات مورفولوژیک می‌باشد؛ اما با توجه به اینکه تعداد صفات مورفولوژیک محدود بوده و تحت تأثیر سن گیاه و محیط قرار دارند، امروزه از روش‌های مطمئن‌تری مانند نشانگرهای مولکولی استفاده می‌شود (Fares et al., 2009). از سال ۱۹۹۴ نشانگر (Inter Simple Sequence Repeats) ISSR مولکولی معرفی شد (Ziekiewicze et al., 1994). نشانگرهای ISSR نیمه‌تصادفی بوده و از تکرارپذیری و چند شکلی بالایی برخوردار است و در دامنه‌ی وسیعی از گیاهان Denduangboripant et al., 2010; Lin et al., 2010). آغازگرهای مورد استفاده در این نشانگرها، مکمل توالی‌های ریز ماهواره‌ای (SSRs) هستند. این روش نیازمند آگاهای از توالی ژنوم نیست و الگوهای چند شکلی زیاد و چند مکانی را تکثیر می‌نماید (Paradeep et al., 2002; Lian et al., 2001). این نشانگرها، همانند نشانگرهای RAPD از نظر تکنیکی ساده بوده و از طرف

بسته‌های یک گرمی تهیه و در فریزر -70°C تا زمان استخراج DNA نگهداری شد. از هر یک از گیاهان اختبار شده، نمونه هرباریومی تهیه شد و پس از اسکن، اندازه‌گیری صفات کمی با استفاده از نرم افزار گرافیکی Autodesk AutoCAD 2010 محصول شرکت Autodesk با مقیاس ۱:۱ و دقت یک میکرومتر انجام گرفت. این متغیرها شامل طول، عرض و مساحت برگ‌ها، طول، عرض و مساحت براكته‌ها، طول، عرض و مساحت کاسبرگ‌ها، طول، عرض و مساحت گلبرگ‌ها، طول و عرض بساک پرچم، طول میله پرچم و طول مادگی بودند (Persson, 1992). برای اندازه‌گیری صفت رنگ از روش کددھی با استفاده از نرم افزار AutoCAD 2010 استفاده شد تجزیه و تحلیل داده‌های مورفولوژیکی با استفاده از نرم افزارهای 16 و MINITAB 18 و Statistics 18 و PASW انجام شد.

فروردين و اردیبهشت ۱۳۸۸ جمع‌آوری گردید. با توجه به توزیع جغرافیائی سه ناحیه به هشت جمعیت تقسیم شد (جدول ۱). فاصله‌ی بین نمونه‌ها ۱۰۰ تا ۵۰۰ متر و فاصله‌ی بین جمعیت‌ها ۱۵۰ کیلومتر بود. سپس برای سهولت کار، نمونه‌ها برای هر جمعیت از یک تا ۲۰ نامگذاری شدند، به صورتی که حرف لاتین نشان‌دهنده‌ی محل جمع‌آوری نمونه بود. نمونه‌های هرباریومی از نمونه‌های مورد بررسی تهیه، و پس از شناسایی دقیق در هرباریوم دانشگاه شهرکرد نگهداری شدند. در جدول ۱ موقعیت جغرافیایی جمعیت‌های مورد ارزیابی، مشخص شده است.

اندازه‌گیری‌های تعداد گل، ارتفاع گیاه و قطر ساقه در محل نمونه گیری انجام شد (Persson, 1992). از هر گیاه نمونه‌های برگ، براكته و گل جدا شده و به آزمایشگاه منتقل گردید؛ از برگ و براكته تازه هر گیاه

جدول ۱- مشخصات مناطق جمع‌آوری نمونه‌های گونه لاله واژگون

ردیف	ناحیه	جمعیت	استان	تعداد نمونه	کد نمونه	طول جغرافیایی	عرض جغرافیایی	از سطح دریا (m)	حداقل ارتفاع
۱	زاگرس	استهبان	فارس	۲۰	E1-E20	۵۴° ۴۱' ۳۲"/	۲۹° ۳۴' ۱۲"/	۲۵۹۸	۲۹° ۳۴' ۱۲"/
۲	جنوبی	گردنه مورپرسه یاسوج	کهکیلویه و بویراحمد	۲۰	Y1-Y20	۵۱° ۳۹' ۵۷"/	۳۰° ۳۲' ۳۷"/	۲۶۴۸	۳۰° ۳۲' ۳۷"/
۳	آستانه	اصفهان	اصفهان	۲۰	A1-A20	۵۱° ۵۱' ۳۱"/	۳۱° ۵۷' ۲۱"/	۲۶۹۸	۳۱° ۵۷' ۲۱"/
۴	زاگرس	کوهرنگ	چهارمحال و بختیاری	۲۰	K1-K20	۵۰° ۱۳' ۴۹"/	۳۲° ۳۴' ۰۶"/	۲۵۶۳	۳۲° ۳۴' ۰۶"/
۵	مرکزی	گلستان کوه خواسار	اصفهان	۲۰	GI-G20	۵۰° ۲۳' ۵۷"/	۳۳° ۰۹' ۱۲"/	۲۷۶۵	۳۳° ۰۹' ۱۲"/
۶	اشترانکه دورود	لرستان	لرستان	۲۰	O1-O20	۴۹° ۱۲' ۰۱"/	۳۳° ۲۱' ۴۱"/	۲۷۴۵	۳۳° ۲۱' ۴۱"/
۷	زاگرس	پرو	کرمانشاه	۲۰	P1-P20	۴۷° ۲۲' ۳۴"/	۳۴° ۳۳' ۴۵"/	۲۶۹۴	۳۴° ۳۳' ۴۵"/
۸	شمال-غرب	گردنه دولاب	کردستان	۲۰	Kr1-Kr20	۴۷° ۴۴' ۲۷"/	۳۵° ۲۰' ۲۳'/	۲۶۵۰	۳۵° ۲۰' ۲۳'/

واحد)، کلرید منیزیم (۰/۵ mM)، مخلوط ۴ نوکلئوتید (۰/۲۴ mM)، بافر PCR (۱)، فورمامید (۰/۱٪) انجام شد. واکنش PCR در دستگاه ترموماسایکلر BioRad با برنامه‌های دمایی یک چرخه ۴ دقیقه‌ای در ۹۴ درجه سانتی-گراد و ۴۰ چرخه شامل ۳۰ ثانیه در ۹۴ درجه سانتی-گراد، ۱ دقیقه در ۵۰ تا ۵۵ درجه سانتی-گراد (بر حسب دمای اتصال آغازگر) و ۱ دقیقه در ۷۲ درجه سانتی-گراد و مرحله بسط نهایی با ۵ دقیقه در ۷۲ درجه سانتی-گراد انجام شد. تفکیک محصولات واکنش با استفاده از ژل آگارز ۱/۵٪ و رنگ آمیزی با اتیدیوم بروماید صورت گرفت. الگوهای چندشکل بر اساس حضور و عدم حضور نوار به ترتیب با ۱ و صفر امتیازبندی شدند. برای تجزیه خوشهای از نرم افزار NTSYS 2.21j (Rolf, 2010)

استخراج DNA و تجزیه ISSR

استخراج DNA به روش تغییر یافته (Murry & Thompson, 1980) CTAB کیفیت و کمیت DNA استخراج شده با استفاده از الکتروفورز روی ژل آگارز ۰/۸ درصد و روش اسپکتروفوتومتری با استفاده از دستگاه بیوفوتومتر ساخت شرکت اپندورف آلمان تعیین گردید. از شش آغازگر مکمل توالی‌های ریزماهواره دارای نوکلئوتید اضافه در انتهای ۳' شامل AG، (CT)8G، (CA)6AG، (GA)8YT، (CT)8G، (AC)8G، (AC)8G و (AC)YG استفاده شد (جدول ۲). واکنش زنجیره‌ای پلیمراز در حجم نهایی ۲۵ میکرولیتر با استفاده از ۳ میکرولیتر از DNA الگو با غلظت ۷۵ نانوگرم، آنزیم ۱) Taq DNA polymerase

فراوانی آم آل است. حداکثر PIC برای نشانگرهای غالباً می باشد. شاخص مارکر (Marker Index, MI)، با استفاده از معادله $MI = DI \times EMR$ محاسبه گردید.

بهره‌گیری شد. محتوی اطلاعات چند شکلی (Polymorphic information content, PIC) هر یک از آغازگرهای ISSR با استفاده از رابطه $PIC_i = 1 - \sum p_i^2$ (Powell et al. 1996) محاسبه شد، که p_i^2 برابر با

جدول ۲ - درصد چند شکلی و محتوای اطلاعات شش آغازگر مورد استفاده برای ۱۶۰ ژنتیپ *L. imperialis* L.

ردیف	نام آغازگر	تولی	(CA)6AG	تعداد کل نوار	تعداد نوار چند شکل	درصد چند شکلی	MI	PIC
۱	17899A			۷	۱		۰/۰۱۹	۰/۰۱۴
۲	UBC 815	(CT)8G		۱۲	۱۰۰		۴/۷	۰/۳۹
۳	UBC 840	(GA)8YT		۹	۸۸/۸۹		۱/۸۴	۰/۲۵
۴	UBC 857	(AC)8YG		۹	۱۰۰		۳/۵۸	۰/۴۰
۵	UBC 827	(AC)8G		۱۰	۱۰۰		۴/۵	۰/۴۵
۶	UBC 818	(CA)8G		۱۰	۹۰		۲/۳	۰/۳۶
میانگین								
				۸/۱۷	۸۵/۹۶		۲/۸	۰/۳۱

نتایج و بحث

بررسی محتوای اطلاعات چند شکلی ISSR

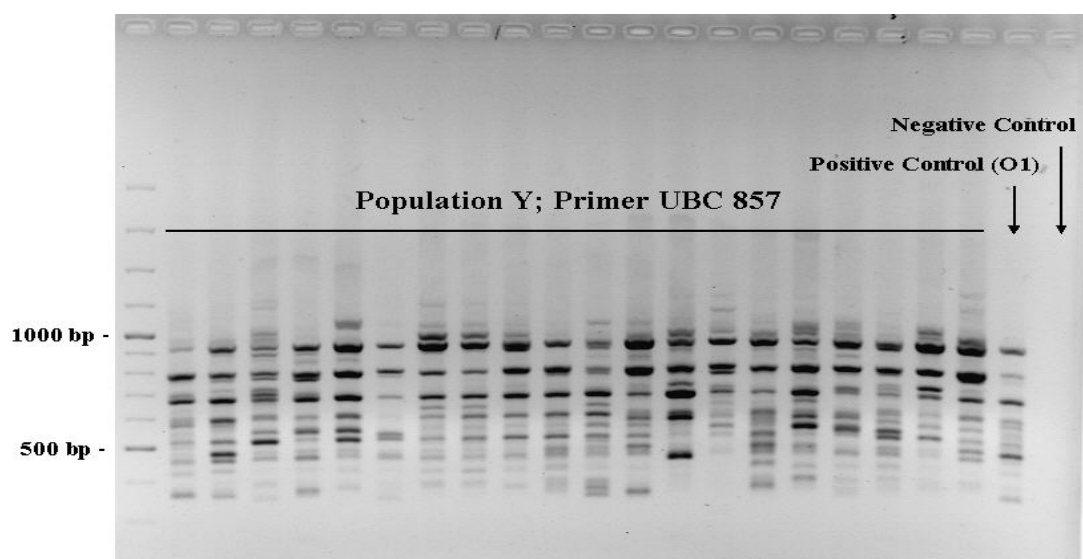
آغازگرهای مورد استفاده چند شکلی مناسبی تولید نمودند و تکرارپذیری بالایی داشتند. نوارهای حاصل از آغازگرهای UBC 840، UBC 857، UBC 827 و UBC 818 در سرتاسر ژل توزیع چندشکل‌تری نسبت به نوارهای حاصل از آغازگر 17899A داشتند (شکل ۱). در مجموع ۵۷ نوار ایجاد شد که از بین آنها نوار، چند شکل بودند. بیشترین تعداد نوار چندشکل مربوط به آغازگر 815 UBC با ۱۲ نوار چندشکل و کمترین تعداد نوار چندشکل مربوط به آغازگر 17899A با ۱ نوار چندشکل بود. میانگین درصد چندشکل مشاهده شده برابر با ۸۵/۶ درصد و میانگین تعداد نوارهای چندشکل به ازای هر واحد سنجش برابر با ۸/۱۷ نوار بود. در مورد نشانگرهای ISSR هر واحد سنجش معادل یک آغازگر می باشد. بیشترین مقدار میزان آن ۰/۱۴ و مربوط به آغازگر 827 UBC و کمترین میزان ۰/۰۱۴ و مربوط به آغازگر 17899A و میانگین PIC محاسبه شده در این تحقیق ۰/۳۱ بود. بالا بودن PIC در این مطالعه نشان دهنده سطح بالای تمایز می باشد. شاخص نشانگر بر اساس تعداد نوارهای چند شکل برای هر آغازگر محاسبه شد که از ۰/۰۱۹ تا ۰/۰۴۵ متغیر بود. بیشترین مقدار شاخص نشانگر ۰/۰۴۵ و

در این رابطه DI شاخص تنوع (Diversity Index) و EMR ضریب موثر چندگانه (Effective Multiplex Ratio) می باشد، که $EMR = n_p \beta_i$ و $DI = 1 - \sum p_i^2$ است، که p_i فراوانی آم آل، n_p تعداد مکان‌های چند شکل و β_i نسبتی از مکان‌های چند شکل می باشد، و به صورت $\beta_i = n_{np} / (n_p + \beta)$ محاسبه می گردد که n_{np} تعداد مکان‌های تک شکل است. دندروگرام روابط ژنتیکی به وسیله تجزیه خوشای به روش UPGMA با استفاده از ماتریس تشابه جاکارد به دست آمد. آزمون منتل برای ارزیابی مطابقت بین ماتریس تشابه جاکارد و دندروگرام انجام گردید (Mantel, 1967)، و در نهایت تقسیم‌بندی سلسله مراتب واریانس مولکولی بین و درون جمعیت‌های مورد بررسی انجام شد. تجزیه و تحلیل مذبور با استفاده از نرم افزار GenAlex 6.4 انجام شد، و معنی‌دار بودن واریانس‌ها ۱۰۰۰ بار مورد آزمون قرار گرفت (Peakall & Smouse, 2010).

تجزیه تنوع ژنی بین و داخل جمعیت‌های لاله‌ی واژگون با استفاده از نرم افزار POPGENE3.1 انجام شد. سلسله مراتب تنوع ژنی شامل: تعداد آلل‌های مشاهده شده (na)، تعداد آلل‌های مؤثر (ne) تنوع ژنی نی (h_n)، شاخص شانون (I_H)، تنوع ژنی کل (H_t) تنوع ژنی داخل جمعیت‌ها (H_s) و تنوع ژنی بین جمعیت‌ها (Yeh et al., 1999) می باشد (Gst).

قدرت تفکیک چندانی در مقایسه با سایر آغازگرها نداشت.

مربوط به آغازگر UBC 827 بود که نشان دهنده قدرت تفکیک بالای این آغازگر در مقایسه با سایر آغازگرها می‌باشد. آغازگر 17899A با شاخص نشانگری ۰/۰۱۹



شکل ۱ - الکتروفورز محصول PCR نشانگر UBC 857 همراه نمونه شاهد (O-1) روی ژل آگاروز ۱/۵٪ و رنگ آمیزی با اتیدیوم بروماید

نشانگرهای ISSR به صورت کاملاً متجانسی در بین و درون جمعیت‌های نمونه برداری شده توزیع شده است. بر اساس این دندروگرام، ۱۶۰ نمونه مورد بررسی، به نحوی مشخص داخل جمعیت‌های مربوط به خود قرار گرفتند.

تجزیه واریانس مولکولی ISSR

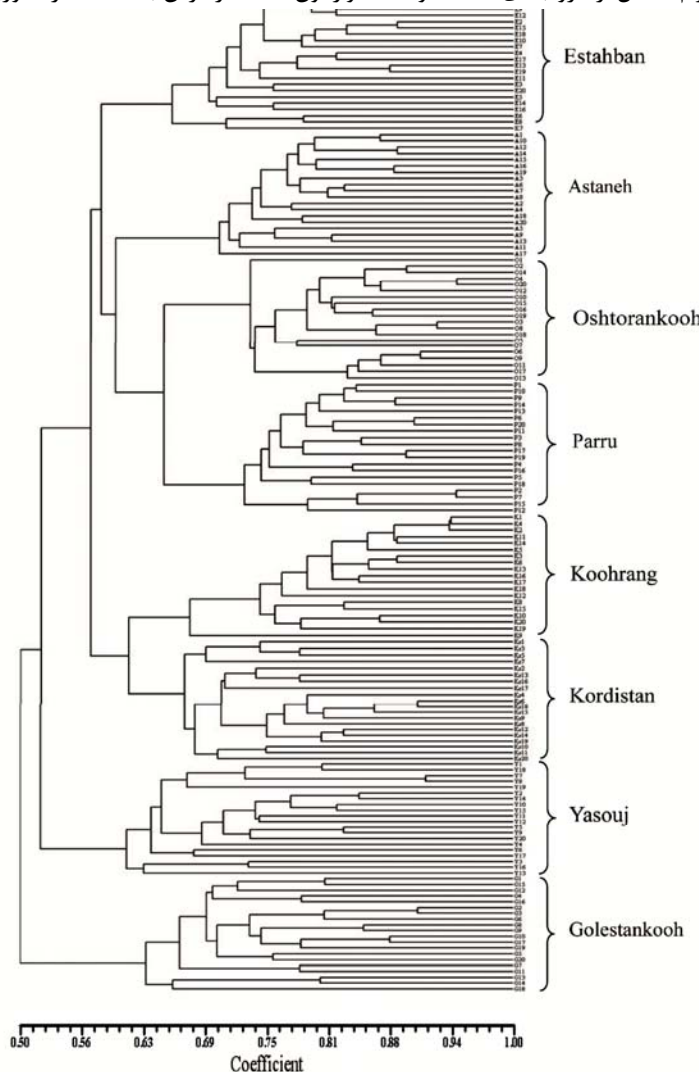
تجزیه و تحلیل واریانس مولکولی به روش AMOVA با استفاده از نرم افزار GenAlex 6.45 و بر اساس داده‌های نشانگر ISSR و در دو حالت انجام گردید. در حالت اول همه جمعیت‌ها بدون گروه‌بندی بر اساس منطقه جغرافیایی بررسی شدند و در حالت دوم سه ناحیه بر اساس فاصله جغرافیایی جمعیت‌ها مشخص شد که در این حالت جمعیت‌های استهبان و یاسوج در گروه اول، جمعیت‌های کوهزنگ، آستانه، گلستان کوه و اشتران کوه در گروه دوم و جمعیت‌های پرو و کردستان در گروه سوم قرار گرفتند. نتایج حاصل در جدول‌های ۳ و ۴ نشان داده شده است. در تجزیه واریانس مولکولی با احتساب گروه‌بندی ناحیه‌ای درصد واریانس بین گروه‌ها بسیار پایین (۰/۰۰ درصد) و از نظر آماری غیر معنی‌دارشد در حالی که واریانس بین جمعیت‌های داخل این

تجزیه خوش‌های ISSR

ابتدا آزمون منتل (Mantel, 1967) برای ضرایب تشابه جاکارد، دایس و تطابق ساده بر اساس روش خوش‌بندی UPGMA انجام شد. بر اساس نتایج به دست آمده در این مطالعه ضریب تشابه جاکارد دارای آماره t منتل برابر با ۸/۷۴ و بالاترین ضریب همبستگی کوفنتیک ۰/۸۷ بود که نشان دهنده برازش خوب و همبستگی بالا بین ماتریس‌های تشابه و دندروگرام نهایی بر اساس ضریب تشابه جاکارد می‌باشد با توجه به ماتریس ضرایب تشابه جاکارد، ضریب تشابه ژنتیکی بین نمونه‌های مورد بررسی از ۰/۳۰ تا ۰/۹۴ متغیر بود. بیشترین شباهت ژنتیکی بین دو نمونه P-2 و P-7 با ضریب تشابه ژنتیکی ۰/۹۴ بود که هر دو متعلق به جمعیت پرو از استان کرمانشاه می‌باشند. کمترین شباهت ژنتیکی بین دو نمونه G-11 و Kr-18 با ضریب تشابه ۰/۳۰ بود. نمونه G-11 متعلق به جمعیت گلستان کوه و نمونه Kr-18 متعلق به جمعیت کردستان می‌باشند. در شکل ۲ دندروگرام حاصل از گروه‌بندی نمونه‌های لاله واژگون بر اساس ضریب تشابه جاکارد و روش UPGMA نشان داده شده است. تنوع حاصل از

گروه‌ها و همچنین واریانس بین افراد بسیار معنی‌دار شد آمد. که به ترتیب ۴۴/۰۵ درصد و ۵۵/۹۵ درصد به دست

شکل ۲- دندروگرام حاصل از گروه‌بندی ۱۶۰ نمونه لاله واژگون منطقه زاگرس با استفاده از الگوریتم UPGMA.



جدول ۳- تجزیه واریانس مولکولی ISSR به دست آمده از ۱۶۰ نمونه لاله واژگون زاگرس بدون گروه‌بندی ناحیه‌ای

P value	Φ value	واریانس اجزاء	مجموع مربعتات	درجه آزادی	منابع تغییرات
<0.001	Fst=0.435	44/0.5	653/431	7	بین جمعیت‌ها
		55/95	826/350	152	داخل جمعیت‌ها
		100	1489/781	159	کل

جدول ۴- تجزیه واریانس مولکولی ISSR به دست آمده از ۱۶۰ نمونه لاله واژگون زاگرس با گروه‌بندی ناحیه‌ای

P value	Φ value	واریانس اجزاء	مجموع مربعتات	درجه آزادی	منابع تغییرات
0.27	Fct=0.400	0.00	71/0.6	2	بین گروه‌ها
<0.001	Fsc=0.430	44/0.5	581/925	5	بین جمعیت‌های داخل گروه‌ها
<0.001	Fst=0.452	55/95	936/350	152	داخل جمعیت‌ها
		100	1489/781	159	کل

است که فاصله جغرافیایی تأثیر مهمی روی ساختار ژنتیکی و جریان ژنی دارد (Wang et al, 2008).

تنوع به وجود آمده بین جمعیت‌ها به علت فاصله مکانی زیاد بین جمعیت‌ها است. چنین استنباط شده

است. از کل تنوع ژنی به دست آمده توسط نشانگر مولکولی ISSR (۳۵۸۳/۰، میزان ۲۲۱۱/۰) از تنوع کل مربوط به داخل جمعیت‌ها و (۱۳۷۲/۰) مربوط به بین جمعیت‌ها می‌باشد. بنابراین بیشتر تنوع ژنی مربوط به تنوع داخل جمعیت‌ها می‌باشد و نسبت Hw/Ht برابر ۰/۶۲ است. مقدار Fst به دست آمده در تجزیه واریانس مولکولی (جدول ۵) است. بنابراین نسبت کمتری از تفاوت‌های ژنتیکی مربوط به تفاوت بین جمعیت‌ها می‌باشد، این مقدار تفاوت، نیز معنی‌دار ($Fst = 0/۳۸۳۲$) و (P < ۰/۰۰۰۱) است. در این مطالعه میزان Fst نشان می‌دهد که تمایز ژنتیکی بالائی بین جمعیت‌های لاله واژگون اتفاق افتاده است و میزان جریان ژنی بین جمعیت‌ها بسیار پایین می‌باشد. کاهش جریان ژنی بین جمعیت‌ها عمدتاً به دلیل زیاد بودن فاصله جغرافیایی بین جمعیت‌ها ناشی می‌شود که پراکنده‌ی اسپورها، گامتها یا پیازهای رویشی را بین جمعیت‌های مورد مطالعه محدود می‌نماید.

گیاهان موجود در مناطق مختلف تبادل ژنتیکی چندانی را ندارند؛ ولی گیاهان موجود در یک منطقه تبادل ژنتیکی فراوانی با هم دارند (Wang et al, 2008). اگر در مجموعه لوکوس‌ها، داده گمشده‌ای وجود نداشته باشد، نتیجه حاصل از تجزیه مولکولی لوکوس به لوکوس، مشابه نتایج تجزیه واریانس مولکولی بر اساس دنдрوگرام خواهد بود و درصورت وجود داده‌های گم شده، درجه آزادی لوکوس‌ها کم می‌شود و بسته به تعداد داده‌های گم شده، مقادیر واریانس بدست آمده در دو آنالیز تفاوت خواهد داشت (Mohammadi & prasana, 2003). در این بررسی، به دلیل حضور تمام لوکوس‌ها نتیجه تجزیه واریانس مولکولی بر اساس دندروگرام کاملاً منطبق با تجزیه واریانس مولکولی بر اساس لوکوس به لوکوس بود.

تجزیه واریانس ژنی بر اساس نشانگرهای ISSR

آنالیز آماری تنوع ژنی بین و داخل جمعیت‌های لاله واژگون ایران با استفاده از نرم افزار POPGENE3.1 انجام شد. تاکنون هیچ اطلاعاتی در مورد فراوانی‌های آللی لاله واژگون و حتی جنس *Fritillaria* گزارش نشده

جدول ۵- نتایج تجزیه تنوع ژنتیکی جمعیت‌های لاله واژگون با استفاده از نشانگرهای ISSR.

P-value	Upper 99% Fst	Lower 99% Fst	Fst	SE (Hb)	Hb	SE (Hw)	Hw	Ht	n	جمعیت
<۰/۰۰۰۱	۰/۰۲۷۸	۰	۰/۳۸۳۲	۰/۰۱۰۱۹۱	۰/۱۳۷۲	۰/۰۰۸۹۶۸	۰/۲۲۱۱	۰/۳۵۸۳	۸	لاله واژگون

Ht: تنوع کل، Hw: میانگین تنوع داخل جمعیت‌ها، Hb: میانگین تنوع بین جمعیت‌ها: Fst: تفاوت بین جمعیت‌ها، Lower 99% Upper 99% مقدار Fst که بیانگر وجود تفاوت ژنتیکی بین جمعیت‌ها، در توزیع تصادفی ۹۹ درصد بر اساس ۱۰۰ جایگزاری تصادفی هستند.

و کوهنگ به میزان ۰/۴۷۰۸ و کمترین فاصله ژنتیکی بین جمعیت‌های کوهنگ و استهبان به میزان ۰/۲۲۴۲ حاصل شد.

ماتریس فواصل ژنتیکی بین جمعیت‌های مورد مطالعه بر اساس ضریب فاصله Fst محاسبه شد (جدول ۶). بیشترین فاصله ژنتیکی بین جمعیت‌های اشتaran کوه

جدول ۶- ماتریس فاصله ژنتیکی Fst بین ۸ جمعیت لاله واژگون منطقه زاگرس

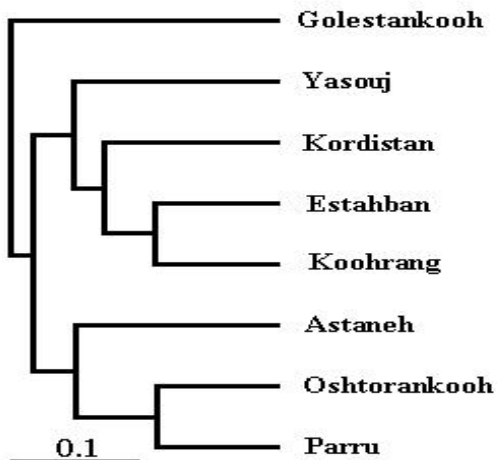
کردستان	پرو	اشترانکوه	گلستانکوه	آستانه	یاسوج	کوهنگ	اشتران	پرو	کردستان	جمعیت
										استهبان
										۰/۰۰۰
										یاسوج
										کوهنگ
										آستانه
										گلستان کوه
										اشتران کوه
										پرو
										کردستان

استفاده از الگوریتم UPGMA را نشان می‌دهد. همان گونه که مشاهده می‌شود ۸ جمعیت مورد بررسی در

شکل ۳ دندروگرام حاصل از خوشبندی ۸ جمعیت لاله واژگون بر اساس ماتریس فاصله ژنتیکی Fst با

ایران برآورد گردید. حالت پروتوژنی اندام‌های زایشی باعث دگرگشتنی در این گیاه شده است (Burquez, 1989) و به دلایل ژنتیکی درصد تشکیل بذر پایین می‌باشد. Burquez (1989) گزارش نمود که پرندگان کوچک در گرده افشاری این گیاه نقش دارند. مکانیسم منحصر به فرد انتقال دانه گرده توسط پرندگان وابسته به جمعیت پرندگان و شرایط محیطی مبنی بر میزان منابع غذایی این پرندگان دارد (Peters & Pirl, 1995). بنابراین انتقال اسپرم، بذر و پیاز رویشی در لاله واژگون در فاصله جغرافیایی زیاد به ندرت اتفاق می‌افتد و فاصله زیاد جغرافیایی (Km > ۱۵۰) بین دو رویشگاه مانع جغرافیایی جهت جریان ژنی بین جمعیت‌های لاله واژگون محسوب می‌گردد.

فاصله ژنتیکی $Fst=0.1$ به سه خوشه اصلی تقسیم شده‌اند. در خوشه اول جمعیت گلستانکوه به تنها یی قرار گرفت، در خوشه دوم جمعیت‌های یاسوج، کردستان، استهبان و کوهرنگ واقع شدند. در خوشه سوم جمعیت‌های آستانه، اشتراککوه و پرو واقع شدند. تنوع به وجود آمده بین جمعیت‌ها به علت فاصله مکانی زیاد بین جمعیت‌ها است. بیشتر بودن تنوع داخل جمعیت‌های لاله واژگون، وابسته به مکانیسم انتقال دانه گرده و تکثیر غیرجنسی در این گیاه است که منجر به افزایش جریان ژنی و افزایش تنوع داخل جمعیت‌ها می‌شود. در این مطالعه نتایج حاصل از تجزیه واریانس مولکولی و تجزیه تنوع ژنی یکسان بوده و در هر دو مورد تنوع داخل جمعیت‌ها بیشتر از تنوع بین جمعیت‌های لاله واژگون



شکل ۳- دندروگرام حاصل از گروه بندی ۸ جمعیت لاله واژگون منطقه زاگرس بر اساس ماتریس فاصله ژنتیکی Fst

اولین مؤلفه که بزرگ‌ترین مؤلفه به شمار می‌رود، ۱۸/۱۶ درصد از تنوع کل را توجیه نمود. ۷۹/۸۶ از تنوع توسط ۱۰ مؤلفه اول و ۱۰۰ درصد تنوع توسط ۳۱ مؤلفه توجیه می‌شود. در شکل ۴ پراکنش نمونه‌های متعلق به ۸ جمعیت، در اطراف دو مؤلفه اصلی اولیه نشان داده شده است. همان طور که مشاهده می‌شود غیر از افراد جمعیت استهبان، الگوی خاصی در پراکنش داده‌ها مشاهده نمی‌شود؛ از سوی دیگر نمونه‌های پرت نیز در اطراف مؤلفه‌ها مشاهده نمی‌شود. این امر نشان دهنده عدم تأثیرگذاری عامل جمعیت (شرایط محیطی زنده و غیر زنده) در دسته‌بندی مورفولوژیکی لاله‌های واژگون منطقه زاگرس می‌باشد. تجزیه خوشاهی و رسم

تجزیه مورفولوژیکی

در این مطالعه به منظور اندازه‌گیری دقیق‌تر صفات مورفولوژیکی تعداد ۲۸۵ نمونه لاله واژگون از جمعیت‌های مورد بررسی منطقه زاگرس ایران ارزیابی گردید. بر این اساس میانگین طول پرچم ۳۳ میلی‌متر، طول بساک ۱۱ میلی‌متر و طول مادگی ۳۷ میلی‌متر محاسبه شد. این در حالی است که طول میله پرچم حداقل ۲۰ میلی‌متر نسبت به مقدار گزارش شده توسط غلامی و همکاران (۱۳۸۶) بیشتر است. در جدول ۷ اندازه‌های مربوط به ۳۲ صفت مورفولوژیکی لاله واژگون منطقه زاگرس ارائه شده است. تجزیه مؤلفه‌های اصلی با استفاده از نرم افزار PASW Statistics 18 انجام گرفت.

خوشبندی افراد مبنی بر تفکیک جمعیت‌ها مشاهده نگردید (شکل دندروگرام نشان داده نشده است). ولی افراد جمعیت استهبان در فاصله ۶۰۰ تشكیل یک خوش مجزا را داده‌اند. اکثر افراد

دندروگرام به روش Ward Linkage، توسط نرم افزار MINITAB ver 17 انجام شد. نتیجه به دست آمده از آنالیز خوشبندی نشان دهنده همان الگوی به دست آمده از تجزیه به مؤلفه‌های اصلی است. با توجه به دندروگرام به دست آمده از صفات مورفولوژیک الگوی خاصی در

جدول ۷- صفات مورفولوژیکی اندازه‌گیری شده از ۲۸۵ نمونه لاله واژگون زاگرس ایران

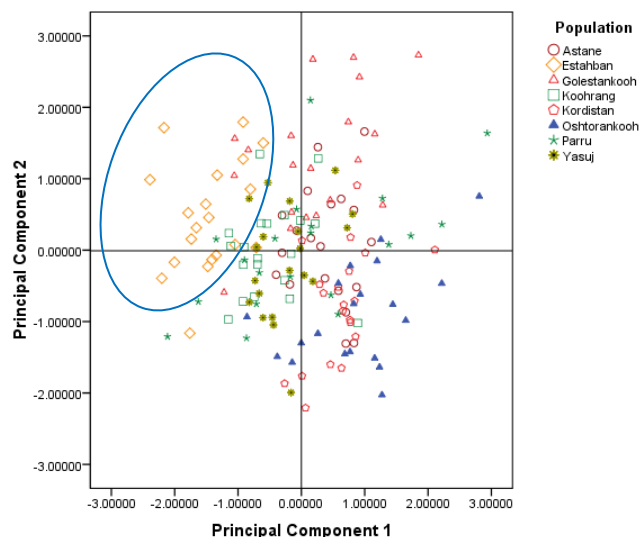
ردیف	صفت	علامت اختصاری	بیشینه	کمینه	میانگین
۱	ارتفاع ساقه	HS (mm)	۹۶/۸۰	۲۲/۲۰	۴۹/۶۴
۲	قطر ساقه	DS (mm)	۲۰/۲۰	۳/۲۵	۱۰/۲۳
۳	تعداد گل	NF	۱۰/۰۰	۲/۰۰	۴/۷۵
۴	رنگ گل	CF	۷/۰۰	۱/۰۰	۴/۱۷
۵	طول برگ فوقانی	LLU (mm)	۲۴۳/۳۶	۳۶/۰۹	۱۴۱/۷۲
۶	عرض برگ فوقانی	WLU (mm)	۷۱/۵۳	۱۲/۸۹	۳۶/۶۷
۷	مساحت برگ فوقانی	ALU (mm ²)	۹۱۸۱/۵۵	۲۵/۸۷	۳۴۹۳/۱۹
۸	طول برگ میانی	LLM (mm)	۲۶۲/۸۰	۲۳/۷۴	۱۴۷/۵۸
۹	عرض برگ میانی	WLM (mm)	۷۲/۳۳	۱۹/۶۲	۴۴/۳۷
۱۰	مساحت برگ میانی	ALM (mm ²)	۱۰۲۱۴/۶۹	۴۴/۳۷	۴۴۷۸/۵۹
۱۱	طول برگ تحتانی	LLD (mm)	۲۳۶/۵۸	۵۴/۳۱	۱۴۶/۷۲
۱۲	عرض برگ تحتانی	WLD (mm)	۹۲/۹۰	۱۴/۹۷	۷۵/۴۰
۱۳	مساحت برگ تحتانی	ALD (mm ²)	۱۲۷۸۴/۹۹	۶۶/۳۲	۵۶۸۷/۶۵
۱۴	طول برآکته داخلی	LBI (mm)	۱۴۰/۳۳	۸/۳۷	۹۱/۲۱
۱۵	عرض برآکته داخلی	WBI (mm)	۲۸/۱۷	۴/۳۸	۱۲/۲۰
۱۶	مساحت برآکته داخلی	ABI (mm ²)	۱۹۰۷/۵۵	۱۴/۰۰	۷۷۶/۴۵
۱۷	طول برآکته میانی	LBM (mm)	۱۷۲/۶۲	۲۸/۶۴	۹۷/۱۰
۱۸	عرض برآکته میانی	WBM (mm)	۳۲/۴۱	۴/۸۳	۱۵/۳۳
۱۹	مساحت برآکته میانی	ABM (mm ²)	۲۶۱۴/۹۷	۱۶۹/۸۸	۱۰۱۷/۹۲
۲۰	طول برآکته خارجی	LBO (mm)	۱۶۴/۴۱	۵۳/۵۴	۹۹/۳۹
۲۱	عرض برآکته خارجی	WBO (mm)	۴۲/۸۶	۷/۷۰	۱۹/۵۵
۲۲	مساحت برآکته خارجی	ABO (mm ²)	۴۵۷۰/۴۸	۳۱۴/۱۳	۱۳۱۶/۹۶
۲۳	طول کاسبرگ	LS (mm)	۷۰/۱۸	۲۸/۷۸	۵۲/۸۴
۲۴	عرض کاسبرگ	WS (mm)	۳۱/۶۳	۷/۹۰	۱۷/۴۲
۲۵	مساحت کاسبرگ	AS (mm ²)	۱۲۸۴/۲۷	۱۸۳/۴۷	۶۸۳/۷۳
۲۶	طول گلبرگ	LPe (mm)	۶۹/۴۴	۲۷/۱۴	۵۲/۲۴
۲۷	عرض گلبرگ	WPe (mm)	۳۵/۱۴	۹/۲۳	۲۱/۸۹
۲۸	مساحت گلبرگ	Ape (mm ²)	۱۴۲۱/۷۶	۲۳۷/۷۴	۷۹۹/۱۳
۲۹	طول بسک پرچم	LA (mm)	۲۴/۰۵	۵/۸۴	۱۱/۳۶
۳۰	قطر بسک پرچم	DA (mm)	۴/۰۶	۱/۵۱	۲/۶۱
۳۱	طول میله پرچم	LF (mm)	۶۰/۶۸	۹/۹۹	۳۳/۰۶
۳۲	طول مادگی	LPi (mm)	۶۴/۱۷	۸/۱۵	۳۷/۴۸

بيان نمود که با توجه به تعداد صفات کمی در مقایسه با صفات کیفی (۳۰:۳) دندروگرام به دست آمده تحت تأثیر صفات کمی است. اما در مورد صفت کیفی رنگ گل که مهمترین صفت تمایز کننده واریته‌ها از یکدیگر است، در صورتی که توسط یک مکان ژنی کنترل شود،

جمعیت استهبان از واریته آروا می‌باشدند. واریته آروا علاوه بر صفت رنگ گل (نارنجی روشن) دارای اندام‌های ظریف با ابعاد کم می‌باشد بنابراین افراد این جمعیت به همراه افرادی که دارای این خصوصیات ظریف باشند در یک خوش مجزا قرار گرفته‌اند. می‌توان

این احتمال وجود دارد که الگوی متمایز کننده‌ای بین

جمعیت‌ها و حتی افراد آن وجود داشته باشد.



شکل ۴- نقشه پراکنش ۱۶۰ نمونه‌لاle و اژگون زاگرس ایران، در اطراف دو مؤلفه اصلی.

صفات مورفولوژیکی مشاهده نگردید (Roldan-Ruiz et al, 2001)

نتیجه گیری کلی

نتایج به دست آمده از این مطالعه نشان دهنده توانایی نشانگر مولکولی ISSR در جداسازی جمعیت‌های مختلف لاله و اژگون می‌باشد. با بهره‌گیری از نشانگر ISSR سطح پایینی از تنوع ژنتیکی درون جمعیت‌ها و سطح بالاتری از تمایز ژنتیکی بین هشت جمعیت لاله و اژگون آشکار گردید. بنابراین بالا بودن تنوع در درون جمعیت‌ها خود عاملی است که از انقراض جمعیت‌ها جلوگیری می‌کند. حفظ تنوع ژنتیکی یکی از اهداف اصلی حفاظت گونه‌های در حال انقراض می‌باشد. نتایج حاصل از این بررسی نشان می‌دهد که مدیریت صحیح برای حفاظت جمعیت‌های وحشی لاله‌ی و اژگون از اهمیت بالائی برخوردار می‌باشد. فاصله جغرافیائی بین جمعیت‌های لاله و اژگون عامل محدود کننده جریان ژنی بین جمعیت‌ها و همچنین تمایز ژنتیکی بین جمعیت‌ها محسوب می‌گردد. از سوی دیگر صفات مورفولوژیکی قادر به شناسائی تنوع موجود نبوده و نتایج حاصل از صفات مورفولوژیکی و نشانگر مولکولی ISSR، منطبق نبود. با توجه به اینکه صفات مورفولوژیکی مربوط به بخش‌های رمزکننده ژنوم است، و تحت تأثیر شرایط

مقایسه داده‌های مورفولوژیکی و مولکولی

مقایسه تجزیه خوشای بر اساس داده‌های ۳۲ صفت مورفولوژیکی با داده‌های مولکولی ISSR نشان داد که تشابه چندانی بین این دو الگو وجود ندارد. نتایج حاصل از مقایسه تجزیه به مؤلفه‌های اصلی نیز تأیید کننده نتایج تجزیه خوشای بود. از سوی دیگر محاسبه ضریب کوفنتیک (Mantel, 1967) بین ماتریس‌های تشابه حاصل از داده‌های مورفولوژیکی و مولکولی ($r=0.25$) عدم وجود همبستگی معنی‌دار بین آن‌ها را نشان داد. یکی از دلایل قابل ذکر آن است که میزان تمایز مولکولی تحت تأثیر جهش، رانده شدگی ژنتیکی و جریان ژنی می‌باشد اما تفاوت در صفات مورفولوژیک بیشتر وابسته به انتخاب طبیعی و تحت تأثیر عوامل محیطی است. عدم تطابق نتایج حاصل از داده‌های مورفولوژیکی، مولکولی RAPD و بیوشیمیابی در بررسی تاکسونومیکی گونه‌های متعلق به جنس *Fritillaria* در ترکیه نیز به دست آمده است (Celebi et al, 2006). چنین نتایجی در بررسی گیاهان دیگری که با استفاده از نشانگرهای مولکولی انجام شده است نیز مشاهده شده است، به عنوان نمونه در بررسی خویشاوندی چند رقم گیاه چمنی چشم، همبستگی معنی‌داری بین ماتریس‌های تشابه نشانگرهای مولکولی (AFLP و STS) و

صفات مورفولوژیکی بدیهی است.

محیطی نیز قرار می‌گیرند، بنابراین عدم وجود همبستگی معنی‌دار بین نشانگرهای مولکولی ISSR و

REFERENCES

1. Ainong, Sh., Kantartzzi, S., Mmbaga, M. & Chen, P. (2010). Development of ISSR PCR markers for diversity study in dogwood (*Cornus* spp.). *Agriculture and Biology Journal of North America*, 1(3), 189-194.
2. Alp, S., Arsalan, N. & Koyuncu, M. (2009). Established forms of *Fritillaria imperialis* L. –a naturally growing species in Turkey. *Pakistan Journal of Botany*, 41(4), 1573-1576.
3. Burquez, A. (1989). Blue tits, *Parus caeruleus*, as pollinators of crown imperial, *Fritillaria imperialis* L, in Britain. *Oikos*, 55, 335-340.
4. Celebi, A., Texen, M., Acik, L. & Aytac, Z. (2006). Taxonomic relationships in genus *Fritillaria* (Liliaceae): Evidence from RAPD-PCR and SDS PAGE of seed proteins. *Acta Botanica Hungarica*, 50, 325-343.
5. Chen, Y., Zhau, R., Lin, X., Wu, K., Qian, X. & Huang, Sh. (2008). ISSR analysis of genetic diversity in sacred lotus cultivars. *Aquatic Botany*, 89, 311-316.
6. Denduangboripant, J., Sornsuda, S. & Wilasinee, S. (2010). Determination of local tobacco cultivars using ISSR Molecular Marker. *Chiang Mai Journal of Science*, 37(2), 293-303.
7. Fares, K., Guasmi, F., Touil, L., Triki, T. & Ferchichi, A. (2009). Genetic diversity of Pistachio tree using Inter-Simple Sequence markers (ISSR) supported by morphological and chemical markers. *Biotechnology*, 8(1), 24-34.
8. Gholami, M., Mahmoodi, A. & Gholami M. (2007). Micro- propagation of Iranian Imperial Crown. MSc. Thesis, Boalisina University. (In Farsi)
9. Lian, C., Zhao, Z. & Hogesta, T. (2001). A simple method for developing of microsatellite markers using amplified fragment of inter simple sequence repeat (ISSR). *Plant Research*, 114, 381-385.
10. Lin, X. C., You, Y. F., Liu, J., Peng , J. S., Liao, G. L. & Fang, W. (2010). Crossbreeding of *Phyllostachys* species (Poaceae) and identification of their hybrids using ISSR markers. *Genetics and molecular research*, 9 (3), 1398-1404.
11. Mantel, N. (1967). The detection of disease clustering and a generalised regression approach. *Cancer Research*, 27, 209-220.
12. Mohammadi, S. A. & Prassana, B. M. (2003). Analysis of genetic diversity in crop plants- salient statistical tools and considerations. *Crop Science*, 43, 1235-1248.
13. Mohammadi-Dehcheshmeh, M., Khalighi, A., Naderi, A., Sardari, M., Ebrahimie, E., 2008. Petal: a reliable explant for direct bulblet regeneration of endangered wild populations of *Fritillaria imperialis* L. *Acta Physiologiae Plantarum*, 30, 395–399.
14. Murray, H. G. & Thompson, W. F. (1980). Rapid isolation of high- molecular- Weight plant DNA. *Nucleic Acids Research*, 8, 4321-4325.
15. Nadeem, M. A., Rahman, A. U., Choudhary, M. I., Sener, B., Erdogan, I. & Tsuda, Y. (2002). New class of steroidal alkaloids from *Fritillaria imperialis*. *Phytochemistry*, 63, 115-122.
16. Paradeep, R., Sarla, N. & Siddiq, E. A. (2002). Inter simple sequence repeat (ISSR) and its application in plant breeding. *Euphytica*, 128, 9-17.
17. Peakall, R. & Smouse, P. E. (2010). GenAIEx 6.4: Genetic Analysis in Excel. Population Genetic Software for teaching and research. *Molecular Ecology Notes*, 6, 288–295
18. Persson, K. (1992). Liliaceae III. In: Rechinger KH (ed.) *Flora Iranica*. 170, 1-40. Graz: Akademische Druck-u-Verlagsanstalt.
19. Peters, W. S., Pirl, M., Gottsberger, G. & Peters, D. S. (1995). Pollination of crown imperial *Fritillaria imperialis* by great tit *Parus major*. *Journal of Ornithology*, 136, 207-212.
20. Powell, W., Morgante, M., Andre, C., Hanafey, Mm. Voge, J., Tingey, S. & Rafalski, A. (1996). The comparison of RFLP, RAPD, AFLP and SSR (microsatellite) markers for germplasm analysis. *Molecular Breeding*, 2, 225–238.
21. Rahman, A., Akhtar, M. N., Choudhary, M. I., Tsuda, Y., Sener, B., Khalid, A. & Parvez, M. (2002). New steroidal alkaloids from *Fritilaria imrialis* and their cholinesterase inhibiting activities. *Chemical & Pharmaceutical Bulletin*, 50, 1013-1016.
22. Rix, E. M. (1977). *Fritillaria* L. (Liliaceae) in Iran. *Iranian Journal of Botany*, 1, 75–95. (In Farsi).
23. Rohlf, F. J. (2010). NTSYSpc: Numerical Taxonomy and Multivariate Analysis System Version 2.21j. Exeter Software. Setauket, New York.
24. Roldan-Ruiz, F. A., Galliland, T. J., Dubreuil, C., Dillman, C. & Lallemand, J. (2001). A comparative study of molecular and morphological methods of describing relationships between perennial ryegrass (*Lilium perenne* L.) varieties. *Theoretical and Applied Genetics*, 103, 1161-1168.

25. Terzopoulos, P. J. & Bebeli, P. J. (2008). DNA and morphological diversity of selected Greek tomato (*Solanum lycopersicum* L.) landraces. *Scientia Horticulturae*, 116, 354-361.
26. Wang, S., jinglin, Y., Gao, W., Pang, J. & Yu, J. (2006). Using X-ray diffractometry for identification of *Flitillaria* preparations according to geographical origin. *Pharmaceutical Chemistry Journal*, 10, 48-51.
27. Wang, X., Zhao, F., Hu, Z., Critchley, A. T., Morrell, S. L. & Duan, D. (2008). Inter simple sequence repeat (ISSR) analysis of genetic variation of *chonadrus crispus* populations from North Atlantic. *Aquatic Botany*, 88, 154-159.
28. Xiao, M., Zhang, X. Q., Zhou, Y. H., Bai, S. Q. & Liu, W. (2008). Assessing genetic diversity of *Elymus sibiricus* (Poaceae:Triticeae) Populations from Qinghai-Tibet Plateau by ISSR markers. *Biochemical Systematic and Ecology*, 36, 514–522.
29. Yeh, F. C., Yang, R. C. & Boyle, T. (1999). Popgene version 1.31, Microsoft window-based freeware for population genetic analysis. University of Alberta and Centre for International Forestry Research.
30. Ziekiewicze, E., Rafalski, A. & Labuda, D. (1994). Genome fingerprinting by simple sequence repeat (SSR)-anchored polymerase chain reaction amplification. *Genomics*, 20, 176-18.